

Milieux, Homogénéité, Interface

TIPE 2017/2018

---

# Asservissement en altitude d'un ballon

---

*Auteurs :*

Gabriel MOUGARD

Ruddy DUPUIS

*Encadrants :*

M. Michel CADIOT

M. Jean-Pierre JORRE

Version 1.0 du  
25 mai 2018



# Table des matières

<b>Introduction</b>	<b>1</b>
<b>1 Mise en contexte et croquis explicatif</b>	<b>3</b>
1.1 Objectifs expérimentaux . . . . .	3
1.1.1 La Nacelle : centre d'opération de l'aéronef . . . . .	4
1.1.2 La Simulation d'une pompe à air . . . . .	6
1.1.3 Alimentation du système . . . . .	7
1.1.4 Récapitulatif . . . . .	7
1.2 Quel est le but de la modélisation ? . . . . .	7
<b>2 Présentation et introduction de notions théoriques</b>	<b>9</b>
2.1 Le principe de la poussée d'Archimède . . . . .	9
2.2 Contraintes géométriques et matérielles . . . . .	9
2.2.1 Pertes de tensions non négligeables . . . . .	10
2.2.2 Pression maximale relative à la valve . . . . .	11
2.2.3 Détermination du différentiel maximal de masse du ballon . . . . .	17
2.2.4 Pertes de charge dans le tube . . . . .	18
<b>3 Architecture software et hardware de la nacelle</b>	<b>19</b>
3.1 Linux Raspbian et Python, chefs d'orchestre du système . . . . .	20
3.2 gestion des macros système : le script .bash . . . . .	20
3.3 Python : Mesures, asservissement et post-exploitation . . . . .	21
3.3.1 main.py . . . . .	22
3.3.2 AsyncAsserv.py . . . . .	23

3.3.3	AsyncMesure.py . . . . .	25
3.3.4	BMP085.py . . . . .	28
3.3.5	POST_OP.py . . . . .	33
3.4	LEDs et servomoteur : quelles sont leurs rôles au sein du système ? . . . .	35
<b>4</b>	<b>Présentation des expériences</b>	<b>37</b>
4.1	Présentation de l'environnement de l'expérience . . . . .	37
4.2	Oscillation autour d'un point d'équilibre . . . . .	37
<b>5</b>	<b>Présentation des résultats et commentaires éventuels</b>	<b>39</b>
5.1	Mesures de l'altitude en fonction du temps . . . . .	39
5.2	Réactivité et précision du système . . . . .	39
	<b>Conclusion</b>	<b>41</b>

# Introduction

In this TIPE, we will present our work on an operational model of a natural-shape balloon, especially the feedback mechanism controlling the altitude. Firstly, We will explain the intrinsic physical phenomena of such a type of aircraft. To begin with, we will modelize our problem using basic property of fluid mechanic which are deeply rooted to Buoyant Force, and Static of fluid more generally. But, most importantly, we will focus on the looping structure of a network of Python and .bash programs allowing our balloon to levitate at a given altitude using an altimeter and embedded self-made electro hydraulic valve.



# Chapitre 1

## Mise en contexte et croquis explicatif

### 1.1 Objectifs expérimentaux

Initialement, l'optique expérimental du notre travail fût de réaliser un ballon "intelligent" capable de gérer de manière automatisé son altitude grâce à la variation de volume d'air.

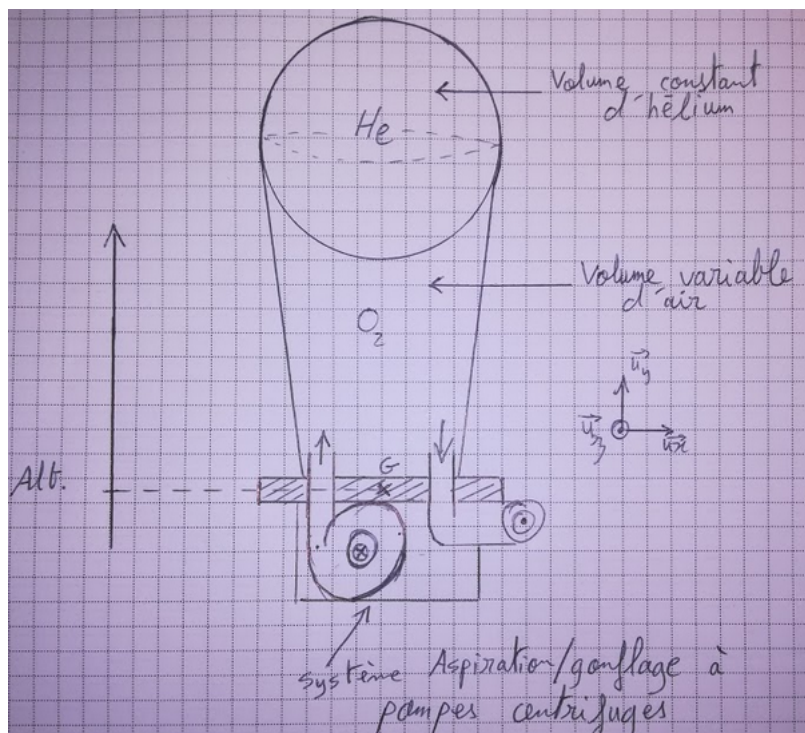


FIGURE 1.1 – Optique **initiale** de la maquette

### 1.1.1 La Nacelle : centre d'opération de l'aéronef

Pour la réalisation d'un tel système, il fallut concevoir une nacelle. Bien sûr avec un bon nombre de contraintes :

	Pompe double flux	carte de commande	Support
Légèreté	<b>Impression 3D</b>	<b>RaspberryPI ( 30g)</b>	<b>Polystyrène ou Aluminium</b>
Résistance	<b>grande résistance aux chocs</b>	<b>embarqué dans une cage en PVC</b>	<b>supporte l'humidité et les chutes</b>

TABLE 1.1 – Les contraintes de la nacelle et nos choix

Au terme de notre TIPE, 2 objectifs sur 3 furent accomplis. En effet, Bien que la conception d'une pompe soit un défi particulièrement excitant, nous avons abandonné l'idée afin d'opter pour un système plus simple et moins coûteux.

Nous avons donc complètement repenser notre maquette pour **uniquement** modéliser l'asservissement en altitude d'un système fluide tel que le 'GoogleLoon'[1] par exemple :

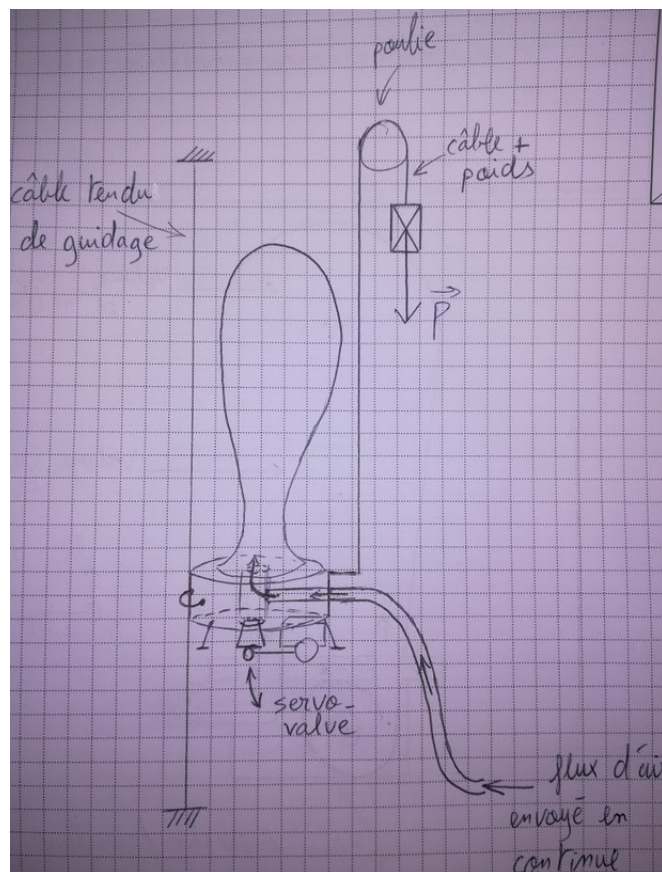


FIGURE 1.2 – croquis de la **nouvelle** expérience



Finalement, nous avons réalisé la base de l'aéronef en polystyrène qui servira par la suite dans la réalisation de notre expérience.

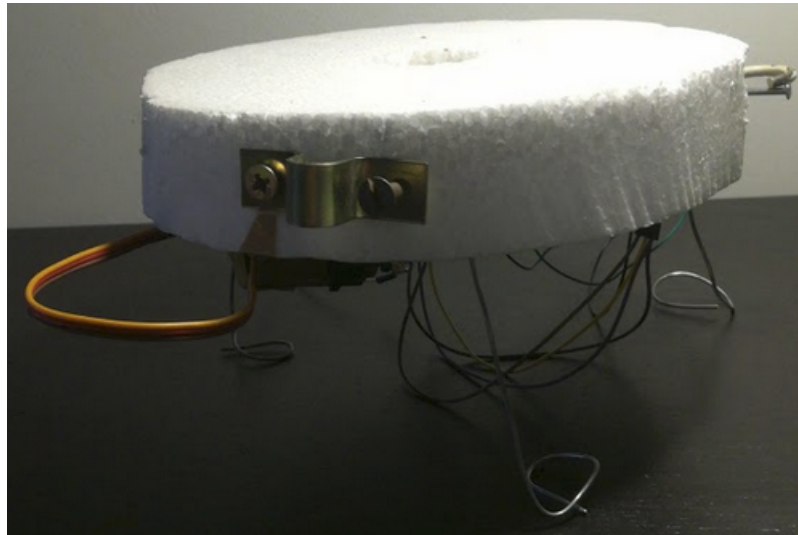


FIGURE 1.3 – Vue générale de la nacelle

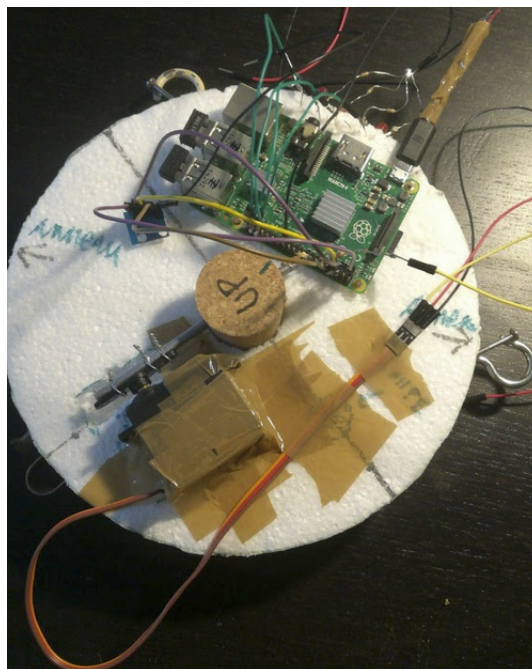


FIGURE 1.4 – Vue générale de la nacelle

### 1.1.2 La Simulation d'une pompe à air

Afin de simuler le flux d'air entrant nous utiliserons un compresseur à air relié à un tuyaux en plastique rigide (diamètre d'environ 6mm). Le flux d'air est envoyé en continu, à débit constant.

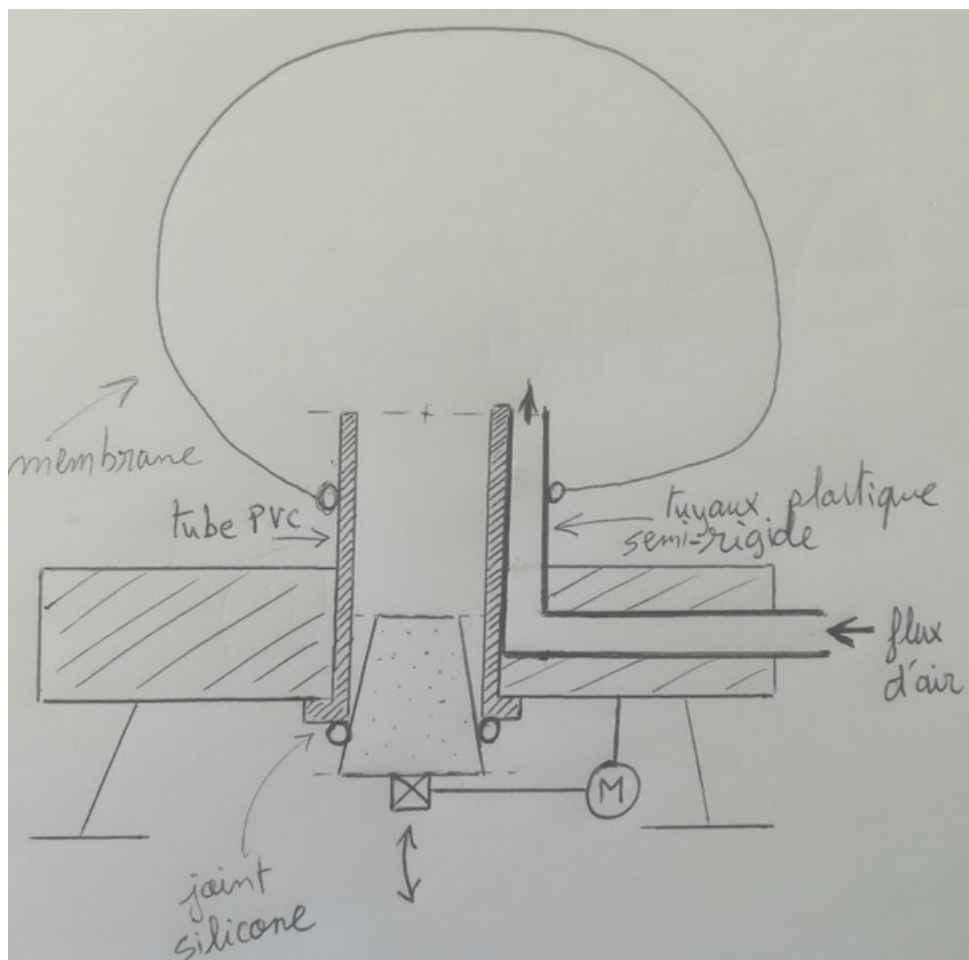


FIGURE 1.5 – Vue en coupe du système de gonflage

Afin d'assurer une étanchéité optimale aux deux extrémités du tube en PVC, nous avons posé un **joint en silicone** à la base de la structure et nous avons effectué un **cerclage** de la membrane à sa base et comblé les éventuelles fuites au niveau du tuyau semi-rigide avec du silicone.

### 1.1.3 Alimentation du système

	Tensions et intensités
RaspberryPi	5V / 2.5A(max)
Servo-moteur	5.5-9V / 2A(en marche)
Système de LEDS	(alimentées par la RaspberryPi)

TABLE 1.2 – Consommations respectives des constituants du système.

Néanmoins, comme nous l'avons découvert tardivement, les phénomènes de chute de tension ne sont absolument pas négligeables à cause de la grande longueur des câbles d'alimentation partant du secteur et pouvant monter à 3 mètres d'altitude environ.

Nous avons finalement fait le choix d'adaptateur secteur universel à tension variable pour résoudre ce problème ( voir section 2.2.1 ).

### 1.1.4 Récapitulatif

En résumé, l'expérience que nous avons étudié, loin de représenter un système fonctionnel de ballon, se contente d'illustrer **uniquement une solution d'asservissement en altitude**.

En effet, par manque de moyens financiers et de compétences, certaines solutions utilisées par des industriels (par exemple **un asservissement à l'hélium**, qui reste une solution classique), ne seront pas étudiées, bien que plus pertinentes que la notre.

## 1.2 Quel est le but de la modélisation ?

Le fait de ne pas disposer d'hélium (  $100\text{euros}/m^3$  ) est problématique, puisque sans un gaz plus léger que l'air le ballon ne peut décoller (si on écarte le cas des ballons à air chaud). Nous avons donc modélisé une force de traction ascensionnelle à l'aide d'un système poulie-poids.

**Le but de ceci ?** Montrer que les ballons asservis peuvent représenter des solutions d'avenir à faible coût dans certaines branches de l'industrie, notamment celle des télécommunications.



# Chapitre 2

## Présentation et introduction de notions théoriques

Dans ce chapitre, nous élaborerons des théories, des modèles relatifs à certaines contraintes du système. Nous nous contenterons de mettre ces problèmes en équation validant une conclusion pouvant déterminer le dimensionnement d'un actionneur, des contraintes de ruptures, etc...

Chacun des résultats théoriques à ensuite été réutilisé et prit en considération pour la construction de la maquette expérimentale.

### 2.1 Le principe de la poussée d'Archimède

La poussée d'Archimède est une notion essentielle à la modélisation d'un ballon à surface naturelle, car elle s'oppose à l'action de la gravité celui-ci, et est responsable de son ascension. Tout corps plongé dans un fluide, liquide ou gaz, est soumis à une force qui s'oppose à son poids. Cette force, de même direction que le poids et de sens opposé, a pour norme :

$$\Pi_A = m_{\text{fluidedéplace}} \times g \quad (2.1)$$

### 2.2 Contraintes géométriques et matérielles

Durant notre TIPE nous avons fait face à diverses contraintes ayant un impact non négligeable sur la réalisation de notre maquette. Parmi ces contraintes, il est important d'aborder **les pertes de tensions dans les câbles** (qui ici sont loin être négligeables).

En effet, l'électronique embarquée demande une alimentation particulièrement stable. Or, une chute de tension créée en particulier par la longueur importante des câbles, bien que minime, peut créer un dysfonctionnement total du système.

Une autre contrainte à prendre également en considération est **l'influence de la pression interne du ballon sur le servomoteur**. En effet, dans une optique de dimensionnement adéquat d'un système de gestion de flux d'air, principalement caractérisé par la valeur du couple de celui-ci, nous avons procédé à une étude d'équilibrage des pièces en mouvements.

### 2.2.1 Pertes de tensions non négligeables

Dans les deux cas qui suivront, les phénomènes de chute de tension ont été un vrai problème lors de la réalisation d'une maquette, donnant ainsi lieu à un surdimensionnement des alimentations en aval pour alimenter le système.

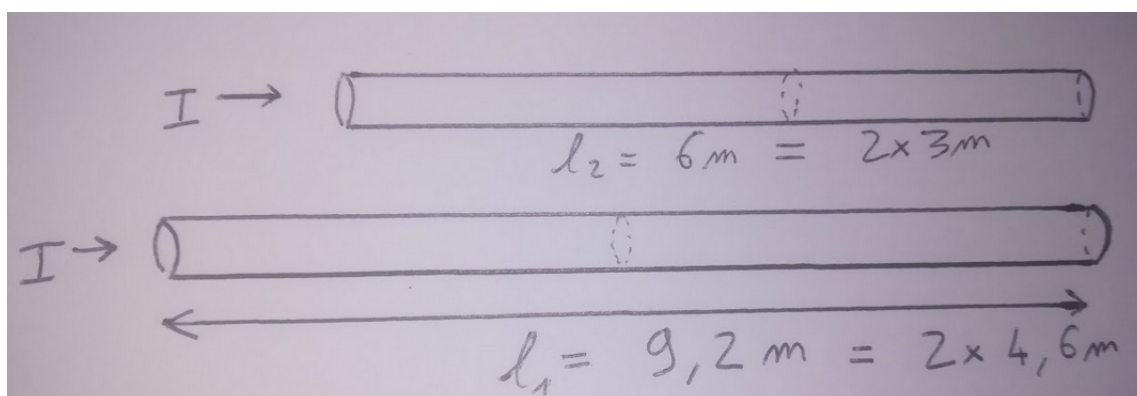


FIGURE 2.1 – De bas en haut, modélisation du câble servomoteur et câble de la carte

On fera le choix d'utiliser le **modèle de Drude** afin de justifier la loi d'Ohm locale dans un conducteur :

$$\tilde{\mathbf{j}} = \gamma \tilde{\mathbf{E}} \quad (2.2)$$

Avec respectivement,  $\gamma$ ,  $\tilde{\mathbf{j}}$ ,  $\tilde{\mathbf{E}}$ , la conductivité du milieu, le vecteur intensité de courant de charge et le champ électrique dans le milieu.

Par intégration sur la longueur des câbles on trouve :

$$R = \frac{\rho l}{S} \quad (2.3)$$

Avec respectivement,  $\rho$ ,  $l$ ,  $S$ , la résistivité du matériaux (le cuivre ici), la longueur du câble et sa section.

D'après la norme **AWG**(American Wire Gauge), nos câbles 'AWG28' comportent une section de 0.0810 millimètres carrés. Ainsi, pour  $\rho = 1.8.10^{-8}\Omega.m$ , on a :

$$R_{\text{carte}} = 6 \times 0.213 = 1.3\Omega \quad (2.4)$$

$$R_{\text{Servo}} = 9.2 \times 0.213 = 1.95\Omega \quad (2.5)$$

La carte demandant un courant de **2A**, la chute de tension dans le câble est de environ **2.6V**. La carte fonctionnant en **5V**, on optera pour une alimentation en aval délivrant **7.5V**.

De même, pour le servo-moteur pouvant de demander jusqu'à **8V** avec un courant maximal de fonctionnement de **2A**, on estime la chute de tension à **4V** et on optera pour une alimentation pouvant délivrer une tension de **12V**.

Suite à cette étude, nous avons décidé de choisir un adaptateur secteur universel variable pour une une grande flexibilité vis-à-vis des tensions pouvant fluctuer.

### 2.2.2 Pression maximale relative à la valve

La pression à l'intérieur du ballon est susceptible d'atteindre des valeurs plus grandes que celle de la pression atmosphérique. Une étude statique s'impose pour déterminer le couple du servo-moteur de fonctionnement pour garder l'étanchéité de la valve.

Effectuons un Principe Fondamental de la Statique(PFS) au système Bouchon en projection sur l'axe  $\tilde{\mathbf{u}}_z$  :

Actions Mécaniques	Expressions
<b>Poids</b>	$-m_{\text{bouchon}}g$
<b>Pression interne</b>	$-P_1S_1$
<b>Pression externe</b>	$P_0S_2$
<b>Couple Servo-moteur</b>	$C_m$

TABLE 2.1 – Actions mécaniques appliquées au système *bouchon*

**Hypothèse(s)** : On considère que  $T_1 = T_0$  et on néglige de poids du système car le matériau est de très faible densité.

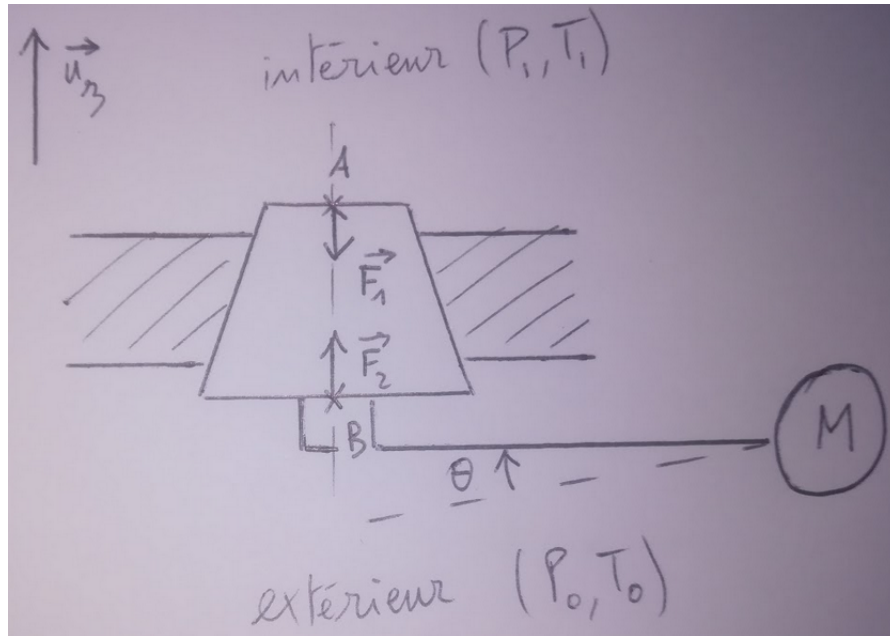


FIGURE 2.2 – Etude de l'équilibre du bouchon

Ainsi,

$$-P_1 S_1 + P_0 S_2 + \frac{C_m}{d} = 0 \quad (2.6)$$

Où  $d$  est la longueur du bras de levier et on considère que  $S_1 \simeq S_2$ , On a :

$$C_m = d \Delta P S_1 \quad (2.7)$$

Où  $\Delta P = P_1 - P_0$ , aussi appelé *Surpression interne*.

Or, Comme nous voulons le couple limite, il nous faut un  $\Delta P$  maximal. Notons que, comme nous allons le voir, cette différence de pression n'est pas maximale à la limite de la rupture du matériau de la membrane, mais bien avant (Le matériau est ici du Latex, choisit principalement pour son faible coup et sa grande élasticité). Nous la noterons  $\Delta P_{max}$ .

Ainsi,

$$C_{m,max} = d \Delta P_{max} S_1 \quad (2.8)$$

**DÉTERMINATION DE  $\Delta P_{max}$  :**



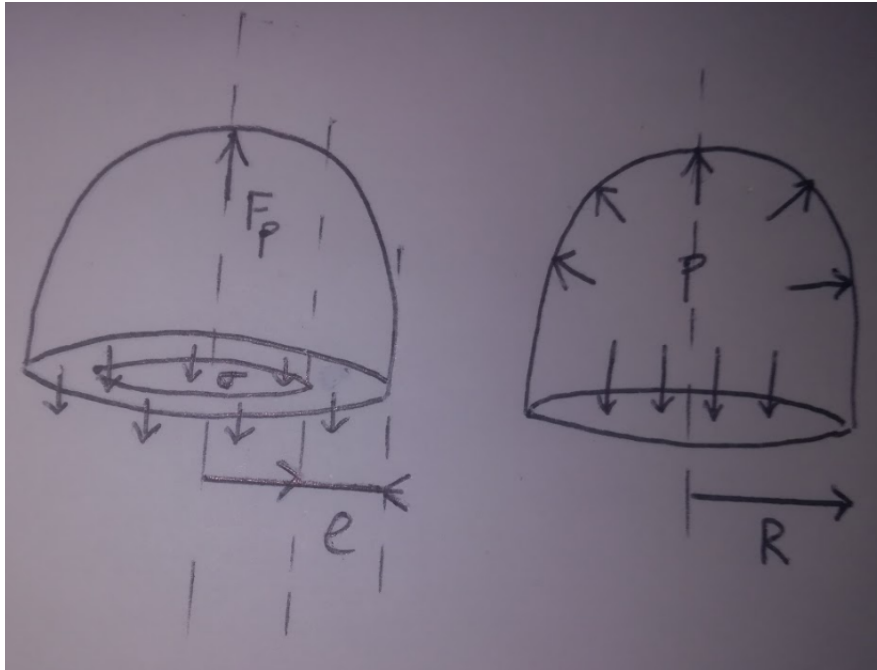


FIGURE 2.3 – Modélisation des forces de surpression

La membrane du ballon étant mince ( $e \ll R$ ) on pourra considérer que la contrainte de traction dans l'épaisseur de la membrane est constante, égale à  $F_\sigma$ .

En coupant la sphère en deux demi-sphères, la résultante  $F_p$  des forces de surpression  $p$  sur la demi-sphère doit équilibrer la résultante  $F_\sigma$  des forces de contrainte agissant sur l'anneau de coupe.

En fermant la demi-sphère par un fond plat, l'équilibre des forces de pression sur la demi-sphère et sur le fond plat impose :

$$F_p = \int_{\text{demi-sphère}} p dS = \int_0^R p 2\pi r dr = \pi R^2 p \quad (2.9)$$

L'intégration de la contrainte  $\sigma$  constante sur la surface  $\pi R e$  de l'anneau conduit à :

$$F_\sigma = \int_R^{R+e} \sigma 2\pi r dr \simeq 2\pi R e \sigma \quad (2.10)$$

L'égalité  $F_p = F_\sigma$  conduit à la relation :

$$\sigma = \frac{R p}{2e} \quad (2.11)$$

$$p = \frac{2e}{R}\sigma \quad (2.12)$$

La contrainte de traction dans la membrane est amplifiée du facteur  $\frac{R}{2e}$  par rapport à la surpression  $p$ .

Le coefficient de Poisson du Latex étant égal à  $\frac{1}{2}$  (pour tout les caoutchouc), le ballon se déforme à volume constant soit :

$$V \simeq 4\pi R^2 e = 4\pi R_0^2 e_0 \quad (2.13)$$

$$\sigma = \frac{R_0 R^3}{2e_0 R_0^3} p \quad (2.14)$$

$$p = \frac{2e_0 R_0^3}{R_0 R^3} \sigma \quad (2.15)$$

Par la suite, notons  $\epsilon$  la déformation vraie de la membrane (non négligeable du fait de la grande élasticité du latex).

On a alors la relation entre  $\epsilon$  et  $R$  telle que :  $d\epsilon = \frac{dR}{R}$ , soit avec la condition initiale  $\epsilon = 0$  quand  $R = R_0$  :

$$\frac{R}{R_0} = \exp(\epsilon) \quad (2.16)$$

donc,

$$\epsilon = \text{Ln}\left(\frac{R}{R_0}\right) = \frac{1}{3}\text{Ln}\left(\frac{V}{V_0}\right) \text{ (d'après les résultats précédents)} \quad (2.17)$$

De plus, on sait que dans la zone linéaire (lors des grandes déformation) on a la relation  $\sigma = E\epsilon = E \cdot \text{Ln}\left(\frac{V}{V_0}\right)$ , où  $E$  est le module de Young de la membrane. On obtient la relation cherchée  $p = f(R)$  en fonction du rayon  $R$  ou du volume  $V$  du ballon :

$$p(R) = E \frac{2e_0 R_0^3}{R_0 R^3} \text{Ln}\left(\frac{R}{R_0}\right) \quad (2.18)$$

$$p(V) = E \frac{2e_0 V_0}{3R_0 V} \text{Ln}\left(\frac{V}{V_0}\right) \quad (2.19)$$

$$\sigma(R) = E \cdot \text{Ln}\left(\frac{R}{R_0}\right) = \frac{1}{3} E \cdot \text{Ln}\left(\frac{V}{V_0}\right) \quad (2.20)$$

Finalement, on trouve le maximum de surpression  $\Delta P_{max}$  pour un rayon de gonflage  $R_c$  tel que  $\frac{dp}{dR} = 0$ , soit :

$$\frac{dp}{p} = -3 \frac{dR}{R} + \frac{dR}{R \text{Ln}\left(\frac{R}{R_0}\right)} = 0 \quad (2.21)$$

D'où,

$$\frac{R_c}{R_0} = \exp\left(\frac{1}{3}\right) \simeq 1.4 \quad (2.22)$$

$$\frac{V_c}{V_0} = \exp(1) \simeq 2.7 \quad (2.23)$$

et donc :

$$\Delta P_{\max} = E \frac{2e_0 R_0^3}{R_0 R_c^3} \text{Ln}\left(\frac{R_c}{R_0}\right) = E \frac{2e_0 \exp(-1)}{3R_0} \simeq 0.12 \frac{2e_0}{R_0} \quad (2.24)$$

et,

$$\sigma_c = \frac{E}{3} \quad (2.25)$$

On a dans notre cas :

$E \simeq 2MPa$  (dans le cas d'un caoutchouc)

$e_0 = 1mm$

$R_0 = 180mm$

Finalement l'application numérique donne :

$$\Delta P_{\max} = 1333\text{Pa} \quad (2.26)$$

D'où pour  $d = 4\text{cm}$ ,  $S_1 = \pi(1.10^{-2})^2 = 314\text{mm}^2$  :

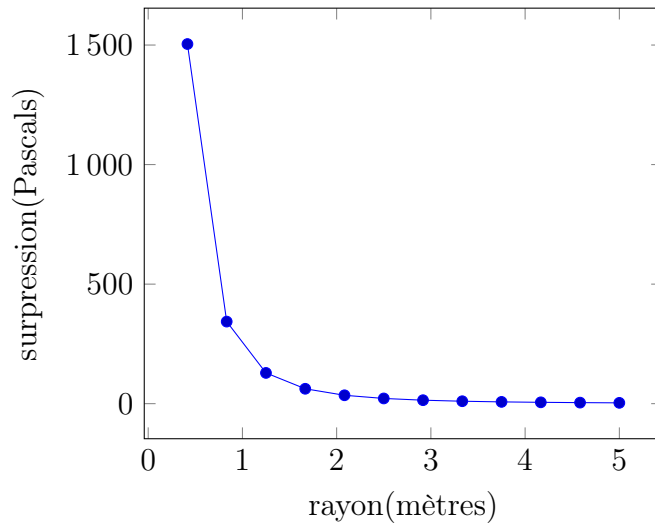
$$C_{\text{m,max}} = 0.016\text{N.m} \simeq 0.17\text{kg.cm} \quad (2.27)$$

#### CONCLUSION :

Nous avons choisi un servo-moteur dont le couple maximal est de 6kg.cm (ce qui est amplement suffisant) pour palier à l'éventualité du fuite d'air due à la surpression. On peut conclure que l'influence de la surpression sur le servo-moteur est négligeable si on prend en considération que la plupart des servo-moteur (pouvant être utilisé en modélisme par exemple) sont vendus avec un couple maximal de l'ordre de 5kg.cm.

### 2.2.3 Détermination du différentiel maximal de masse du ballon

Connaissant la relation  $P = f(r) = \frac{129.6}{r^3} \ln(\frac{r^3}{18.10^{-2}})$ , on cherchera ici à déterminer le différentiel maximal de masse du ballon que l'on notera  $\Delta_{\max} m$ .



Cette valeur nous sera d'une grande utilité pratique lors de l'expérience.

Dans un premier, il existe une fonction d'état  $g$  telle que  $m = g(P, V)$ . Il s'agit bien sûr d'utiliser la relation des gaz parfaits au système fluide situé dans la membrane.

$$m(r) = \frac{M_{\text{air}}}{RT} P(r) V(r) \quad (2.28)$$

Par la suite, nous assimilerons le ballon à une sphère. Puis, comme le rayon de rupture  $R_R \simeq 0.50$  mètres, par lecture graphique on détermine que la surpression correspondante vaut environ 750 Pa.

Ainsi :

$$\Delta_{\max} m = \frac{M_{\text{air}}}{RT} (P_0 + 750) \times \frac{4}{3} \pi R_R^3 \quad (2.29)$$

$$\Rightarrow \Delta_{\max} m = 625 \text{ g} \quad (2.30)$$

On en déduit la poussée d'Archimède :

$$\Pi_A = 0.625 \times 9.81 = 6.13 \text{ N} \quad (2.31)$$

### 2.2.4 Pertes de charge dans le tube

L'utilisation d'un tube de longueur importante afin de gonfler entraîne des pertes de charge. Il faut par conséquent les exprimer puis les calculer pour déterminer la pression nécessaire en sortie du compresseur. Considérons l'écoulement d'un fluide visqueux dans une conduite cylindrique de longueur  $\mathbf{L}$  et de rayon  $\mathbf{R}$ . Par la loi de Hagen-Poiseuille, en notant  $\mathbf{D_v}$  le débit volumique de l'écoulement la perte de charge  $\Delta\mathbf{P}$  s'exprime par :

$$\Delta\mathbf{P} = \frac{8\eta\mathbf{L}}{\pi\mathbf{R}^4}\mathbf{D_v} \quad (2.32)$$

## Chapitre 3

# Architecture software et hardware de la nacelle

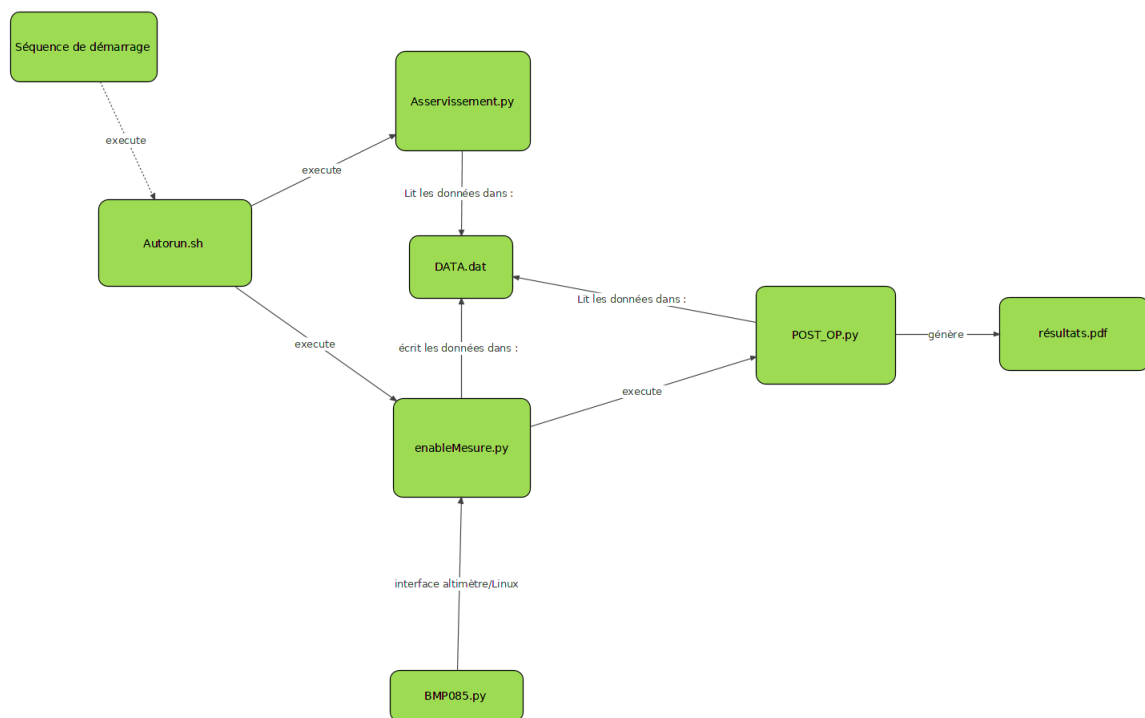


FIGURE 3.1 – Architecture Software du système.

## 3.1 Linux Raspbian et Python, chefs d'orchestre du système

Pourquoi avoir fait le choix de nous tourner vers un **environnement Linux** ? Pourquoi ne pas avoir choisit une autre solution telle que la carte Arduino ou bien une autre carte à microcontrôleur ?

L'avantage de ce choix est le fait de pouvoir bénéficier d'un système programmable avec une capacité de **mémoire durable** (idéal pour les mesures). De plus, le système d'exploitation permet de lancer plusieurs **services en parallèle**, ce qui est impossible pour un microcontrôleur qui a un comportement linéaire, séquentiel.

Également, il est possible d'utiliser des langages de **programmation haut niveau** tel que Python à la place de la programmation procédurale en langage C (utilisé pour les microcontrôleurs), **bas niveau** donc plus rapide lors du temps d'exécution, mais beaucoup plus complexe. De plus, Python dispose de nombreuse bibliothèque de gestion des entrées/sorties entre les pins et le système en lui-même.

Ce choix d'un "ordinateur" embarqué plutôt qu'un microcontrôleur est à double tranchant : **les tâches ne se lancent pas automatiquement lors de l'allumage**, ce qui est généralement le cas pour un microcontrôleur. Ainsi, il est nécessaire de palier à ce problème en "automatisant" ces tâches. Ce qui nous amène à la section suivante.

## 3.2 gestion des macros système : le script .bash

Nous avons créer un utilitaire se lançant à la séquence de démarrage du système appelé *autorun.sh* (codé en .bash) afin d'automatiser le démarrage d'autre scripts (ceux-ci seront en Python) :

*autorun.sh*

```
1 # /etc/init.d/autorun.sh
2 ### BEGIN INIT INFO
3 # Provides:      autorun.sh
4 # Required-Start: $remote_fs $syslog
5 # Required-Stop:  $remote_fs $syslog
6 # Default-Start:  2 3 4 5
7 # Default-Stop:   0 1 6
8 # Short-Description: Start daemon at boot time
```



```
9  # Description:      Enable service provided by daemon.
10  ### END INIT INFO
11
12  #!/bin/bash
13
14  BIN=/home/pi/Desktop/TIPE
15
16  cd \ $BIN
17  python main.py &
18  exit 0
```

Ce programme lance l'exécution automatique du script principal en Python *main.py* situé dans le répertoire décrit dans la variable *\$BIN*

Après les commandes UNIX suivantes :

```
cd /etc/init.d && sudo chmod 755 autorun.sh && update-rc.d autorun.sh enable
```

*autorun.sh* est maintenant exécutable, et s'exécute en tant que service système lors du démarrage du système d'exploitation.

Il est maintenant temps de s'intéresser aux programmes *Python*.

### 3.3 Python : Mesures, asservissement et post-exploitation

Comme nous l'avons vu **figure 3.1**, *autorun.sh* exécute deux programmes *Python*, *enableMeasure.py* et *Asservissement.py*. Cela paraît contradictoire par rapport à la section précédente indiquant que seul le script *main.py* est exécuté.

**C'est bien *main.py* qui est effectivement exécuté en premier.** Celui-ci aura comme rôle de **définir les constantes du système** et de **lancer un processus d'asservissement et de mesure d'altitude**.

Or, ces deux processus doivent être lancés en même temps et s'effectuer de manière interdépendantes. **Nous verrons qu'ils doivent même être capable d'écrire dans le même fichier en même temps !**

A l'avenir on qualifiera *enableMeasure.py* et *Asservissement.py* de *services* ou de *Thread*, renvoyant l'idée que les instructions Python ne s'effectuent pas de manière linéaire, mais de manière parallèle. Ce choix de paradigme, si il n'est peut-être pas encore tout à fait clair, se justifiera à la vue des programmes qui vont suivre.

**Algorithm 1** main.py : lance le service (ou Thread) d’asservissement

**Lancement du service** (qui ne s'arrête que quand la carte n'est plus alimentée.)

[illegible]

```

27 #####
28
29 #Creation du thread
30 asservissement = AsyncAsserv(duty1,duty2,pwm,sensor,ALT_MAX) #thread1
31
32 #Lancement du thread
33 asservissement.start()
34
35
36 #Attend que le thread se termine (sauf que celui-ci ne se termine pas
37 #donc c'est une boucle infinie...)
38
39 asservissement.join()

```

### 3.3.2 AsyncAsserv.py

---

**Algorithm 2** AsyncAsserv.py : Définition de la classe 'asservissement' (Nous utiliserons la POO Python (Programmation orientée objet))

---

**Require:** importation des modules

**pwm, dutyCycle, ALT\_MAX**  $\leftarrow$  pwm, 0, ALT\_MAX

**if run() then**

**création et démarrage du service de mesure**

**while True do**

        altitude  $\leftarrow$  AsyncMeasure.get\_data()

**if altitude > ALT\_MAX then**

            dutyCycle  $\leftarrow$  changeDutyCycle(fermeture)

**else**

            dutyCycle  $\leftarrow$  changeDutyCycle(ouverture)

**end if**

**end while**

**end if**

---

```

1  from threading import Thread

```

```

2  import AsyncMeasure

```

```

3  import time

```

```

4

```

```

5  class AsyncAsserv(Thread):

```

```

6      """Thread chargé d'effectuer l'asservissement en parallèle des mesures"""

```

```
7
8     def __init__(self,duty1,duty2,pwm,sensor,ALT_MAX):
9         Thread.__init__(self)
10        self.measure = AsyncMeasure(sensor)
11        self.duty1 = duty1
12        self.duty2 = duty2
13        self.pwm = pwm
14        self.ALT_MAX = ALT_MAX
15
16    def run(self):
17        """Code à executer pendant l'exécution du Thread"""
18
19        self.measure.start() #demarrage du thread de mesure
20
21        while True:
22
23            altitude = AsyncMeasure.get_data()
24            altitude = float(altitude)
25
26            if altitude > self.ALT_MAX: #fermeture
27                self.pwm.ChangeDutyCycle(self.duty1)
28            else: #ouverture
29                self.pwm.ChangeDutyCycle(self.duty2)
```

### 3.3.3 AsyncMeasure.py

---

**Algorithm 3** AsyncMeasure.py : Définition de la classe 'mesure' (Nous utiliserons la POO Python (Programmation orientée objet))

---

**Require:** importation des modules

**Require:** définition de fonctions utilitaires

**Require:** def send\_data()

**Require:** def send\_data\_POST\_OP()

**Require:** def get\_data()

**Require:** définition de la classe 'AsyncBlinkink' (service de "clignotement" des LEDs)

**définition du service de Mesure**

R\_ALT ← AsyncBlinking(21, "AsyncMeasure.sensor.read<sub>a</sub>ltitude()")

S\_DAT ← AsyncBlinking(26, "send<sub>a</sub>data(AsyncMeasure.sensor.read<sub>a</sub>ltitude())")

S\_DAT\_POST ← AsyncBlinking(16, 74 "send\_data\_POST\_OP([AsyncMeasure.sensor.read<sub>a</sub>ltitude()  
time.clock()])")

**démarrage d'un chronomètre**

**while** True **do**

    lancer le service R\_ALT

    lancer le service S\_DAT

    lancer le service S\_DAT\_POST\_OP

**attendre l'arrêt des 3 services**

**stopper la procédure pendant le temps d'échantillonnage des mesures**

**end while**

---

```

1  import time
2  from threading import Thread
3  import os
4  import RPi.GPIO as GPIO
5
6
7  #helper functions#####
8
9  def send_data(data):
10     output = open('data.dat', 'a')
11     output.write("\n{}".format(data[0], data[1]))
12     output.close()
13
14  def send_data_POST_OP(data):
15     output = open('POST.dat', 'a')
```

```
16     output.write("\n{}\t{}".format(data[0],data[1]))
17     output.close()
18
19 def get_data():
20
21     try:
22         dat_file = open('data.dat', 'r')
23         old = ""
24         for line in dat_file:
25             if old:
26                 pass
27             old = line
28
29         if old:
30             line = old
31
32         dat_file.close()
33         os.system('sudo rm /home/pi/Desktop/TIPE/data.dat')
34         return line
35
36     except FileNotFoundError:
37         pass
38     #####
39
40
41 class AsyncBlinking(Thread):
42
43     def __init__(self,pin,func):
44         Thread.__init__(self)
45         self.blink_time = 0.05
46         self.func = func
47         self.pin = pin
48
49
50     def run(self):
51         """code du thread de clignotement"""
52
53         GPIO.output(self.pin,True)
54         exec(self.func)
55         time.sleep(self.blink_time)
```

```
56         GPIO.output(self.pin,False)
57
58
59     class AsyncMeasure(Thread):
60
61
62         def __init__(self,sensor):
63             Thread.__init__(self)
64             self.sensor = sensor
65             self.FREQUENCY_SECONDS = 0.1
66
67
68
69         def run(self):
70             """code du thread de mesure"""
71             R_ALT = AsyncBlinking(21, "AsyncMeasure.sensor.read_altitude()")
72             S_DAT = AsyncBlinking(26,"send_data(AsyncMeasure.sensor.read_altitude())")
73             S_DAT_POST = AsyncBlinking(16,
74             "send_data_POST_OP([AsyncMeasure.sensor.read_altitude(), time.clock()])")
75
76             time.clock()
77
78             while True:
79                 R_ALT.start()
80                 S_DAT.start()
81                 S_DAT_POST.start()
82
83                 R_ALT.join()
84                 S_DAT.join()
85                 S_DAT_POST.join()
86                 time.sleep(self.FREQUENCY_SECONDS)
```

### 3.3.4 BMP085.py

---

**Algorithm 4** BMP085.py : Définition de la classe 'capteur' (ce fichier fait office de "driver" entre l'interface software et hardware))

---

**Require:** importation des modules

**Require:** affectation des variables contenant les adresses des registres du BMP085

Création de la classe 'BMP085'

---

```

1  from __future__ import division
2  import logging
3  import time
4
5  # adresse usuelle du BMP085
6  BMP085_I2CADDR          = 0x77
7
8  # Modes opératoires
9  BMP085_ULTRALOWPOWER    = 0
10 BMP085_STANDARD          = 1
11 BMP085_HIGHRES           = 2
12 BMP085_ULTRAHIGHRES     = 3
13
14 # Liste des registres du BMP085
15 BMP085_CAL_AC1           = 0xAA # R   Calibration data (16 bits)
16 BMP085_CAL_AC2           = 0xAC # R   Calibration data (16 bits)
17 BMP085_CAL_AC3           = 0xAE # R   Calibration data (16 bits)
18 BMP085_CAL_AC4           = 0xB0 # R   Calibration data (16 bits)
19 BMP085_CAL_AC5           = 0xB2 # R   Calibration data (16 bits)
20 BMP085_CAL_AC6           = 0xB4 # R   Calibration data (16 bits)
21 BMP085_CAL_B1            = 0xB6 # R   Calibration data (16 bits)
22 BMP085_CAL_B2            = 0xB8 # R   Calibration data (16 bits)
23 BMP085_CAL_MB            = 0xBA # R   Calibration data (16 bits)
24 BMP085_CAL_MC            = 0xBC # R   Calibration data (16 bits)
25 BMP085_CAL_MD            = 0xBE # R   Calibration data (16 bits)
26 BMP085_CONTROL           = 0xF4
27 BMP085_TEMPDATA          = 0xF6
28 BMP085_PRESSUREDATA      = 0xF6
29
30 # Commandes
31 BMP085_READTEMPCMD        = 0x2E
32 BMP085_READPRESSURECMD    = 0x34

```



```
33
34
35 class BMP085(object):
36     def __init__(self, mode=BMP085_STANDARD, address=BMP085_I2CADDR, i2c=None,
37         **kwargs):
38         self._logger = logging.getLogger('Adafruit_BMP.BMP085')
39         # Check that mode is valid.
40         if mode not in [BMP085_ULTRALOWPOWER, BMP085_STANDARD,
41             BMP085_HIGHRES, BMP085_ULTRAHIGHRES]:
42             raise ValueError('Mauvais mode {0}.
43                 Choisir un mode parmi BMP085_ULTRALOWPOWER,
44                 BMP085_STANDARD, BMP085_HIGHRES, ou
45                 BMP085_ULTRAHIGHRES'.format(mode))
46         self._mode = mode
47         # Create I2C device.
48         if i2c is None:
49             import Adafruit_GPIO.I2C as I2C
50             i2c = I2C
51         self._device = i2c.get_i2c_device(address, **kwargs)
52         # Initialise les valeurs de calibration.
53         self._load_calibration()
54
55     def _load_calibration(self):
56         self.cal_AC1 = self._device.readS16BE(BMP085_CAL_AC1) # INT16
57         self.cal_AC2 = self._device.readS16BE(BMP085_CAL_AC2) # INT16
58         self.cal_AC3 = self._device.readS16BE(BMP085_CAL_AC3) # INT16
59         self.cal_AC4 = self._device.readU16BE(BMP085_CAL_AC4) # UINT16
60         self.cal_AC5 = self._device.readU16BE(BMP085_CAL_AC5) # UINT16
61         self.cal_AC6 = self._device.readU16BE(BMP085_CAL_AC6) # UINT16
62         self.cal_B1 = self._device.readS16BE(BMP085_CAL_B1) # INT16
63         self.cal_B2 = self._device.readS16BE(BMP085_CAL_B2) # INT16
64         self.cal_MB = self._device.readS16BE(BMP085_CAL_MB) # INT16
65         self.cal_MC = self._device.readS16BE(BMP085_CAL_MC) # INT16
66         self.cal_MD = self._device.readS16BE(BMP085_CAL_MD) # INT16
67         self._logger.debug('AC1 = {0:6d}'.format(self.cal_AC1))
68         self._logger.debug('AC2 = {0:6d}'.format(self.cal_AC2))
69         self._logger.debug('AC3 = {0:6d}'.format(self.cal_AC3))
70         self._logger.debug('AC4 = {0:6d}'.format(self.cal_AC4))
71         self._logger.debug('AC5 = {0:6d}'.format(self.cal_AC5))
72         self._logger.debug('AC6 = {0:6d}'.format(self.cal_AC6))
```

```
73         self._logger.debug('B1 = {0:6d}'.format(self.cal_B1))
74         self._logger.debug('B2 = {0:6d}'.format(self.cal_B2))
75         self._logger.debug('MB = {0:6d}'.format(self.cal_MB))
76         self._logger.debug('MC = {0:6d}'.format(self.cal_MC))
77         self._logger.debug('MD = {0:6d}'.format(self.cal_MD))
78
79
80
81     def _load_datasheet_calibration(self):
82         # Calibrage avec les valeurs constructeur.
83         # Pratique pour debugguer la précision des calculs de      #température et pr
84         self.cal_AC1 = 408
85         self.cal_AC2 = -72
86         self.cal_AC3 = -14383
87         self.cal_AC4 = 32741
88         self.cal_AC5 = 32757
89         self.cal_AC6 = 23153
90         self.cal_B1 = 6190
91         self.cal_B2 = 4
92         self.cal_MB = -32767
93         self.cal_MC = -8711
94         self.cal_MD = 2868
95
96     def read_raw_temp(self):
97         """Lit la température brute du capteur."""
98         self._device.write8(BMP085_CONTROL, BMP085_READTEMPCMD)
99         time.sleep(0.005) # Attend 5ms
100        raw = self._device.readU16BE(BMP085_TEMPDATA)
101        self._logger.debug('temp brute 0x{0:X} ({1})'.format(raw & 0xFFFF, raw))
102        return raw
103
104     def read_raw_pressure(self):
105         """Lit le niveau de pression brute du capteur."""
106         self._device.write8(BMP085_CONTROL,
107                             BMP085_READPRESSURECMD + (self._mode << 6))
108         if self._mode == BMP085_ULTRALOWPOWER:
109             time.sleep(0.005)
110         elif self._mode == BMP085_HIGHRES:
111             time.sleep(0.014)
112         elif self._mode == BMP085_ULTRAHIGHRES:
```

```
113         time.sleep(0.026)
114     else:
115         time.sleep(0.008)
116     msb = self._device.readU8(BMP085_PRESSUREDATA)
117     lsb = self._device.readU8(BMP085_PRESSUREDATA+1)
118     xlsb = self._device.readU8(BMP085_PRESSUREDATA+2)
119     raw = ((msb << 16) + (lsb << 8) + xlsb) >> (8 - self._mode)
120     self._logger.debug('Raw pressure 0x{0:04X} ({1})'.
121         format(raw & 0xFFFF, raw))
122     return raw
123
124     def read_temperature(self):
125         """compense et transforme en Celsius."""
126         UT = self.read_raw_temp()
127         # valeur constructeur pour debbuguer
128         #UT = 27898
129         # calculs venant de la section 3.5 de la feuille #constructeur.
130         X1 = ((UT - self.cal_AC6) * self.cal_AC5) >> 15
131         X2 = (self.cal_MC << 11) // (X1 + self.cal_MD)
132         B5 = X1 + X2
133         temp = ((B5 + 8) >> 4) / 10.0
134         self._logger.debug('Calibrated temperature {0} C'.format(temp))
135         return temp
136
137     def read_pressure(self):
138         """Compense et transforme en Pascal."""
139         UT = self.read_raw_temp()
140         UP = self.read_raw_pressure()
141         # valeur constructeur pour debugguer:
142         #UT = 27898
143         #UP = 23843
144         # calculs de la section 3.5 de la feuille constructeur.
145         # Calcul du coefficient B5
146         X1 = ((UT - self.cal_AC6) * self.cal_AC5) >> 15
147         X2 = (self.cal_MC << 11) // (X1 + self.cal_MD)
148         B5 = X1 + X2
149         self._logger.debug('B5 = {0}'.format(B5))
150         # calculs pression
151         B6 = B5 - 4000
152         self._logger.debug('B6 = {0}'.format(B6))
```

```

153         X1 = (self.cal_B2 * (B6 * B6) >> 12) >> 11
154         X2 = (self.cal_AC2 * B6) >> 11
155         X3 = X1 + X2
156         B3 = (((self.cal_AC1 * 4 + X3) << self._mode) + 2) // 4
157         self._logger.debug('B3 = {0}'.format(B3))
158         X1 = (self.cal_AC3 * B6) >> 13
159         X2 = (self.cal_B1 * ((B6 * B6) >> 12)) >> 16
160         X3 = ((X1 + X2) + 2) >> 2
161         B4 = (self.cal_AC4 * (X3 + 32768)) >> 15
162         self._logger.debug('B4 = {0}'.format(B4))
163         B7 = (UP - B3) * (50000 >> self._mode)
164         self._logger.debug('B7 = {0}'.format(B7))
165         if B7 < 0x80000000:
166             p = (B7 * 2) // B4
167         else:
168             p = (B7 // B4) * 2
169         X1 = (p >> 8) * (p >> 8)
170         X1 = (X1 * 3038) >> 16
171         X2 = (-7357 * p) >> 16
172         p = p + ((X1 + X2 + 3791) >> 4)
173         self._logger.debug('Pressure {0} Pa'.format(p))
174         return p
175
176     def read_altitude(self, sealevel_pa=101325.0):
177         """Calcule l'altitude en mètres."""
178         # section 3.6 de la feuille constructeur.
179         pressure = float(self.read_pressure())
180         altitude = 44330.0 * (1.0 - pow(pressure / sealevel_pa, (1.0/5.255)))
181         self._logger.debug('Altitude {0} m'.format(altitude))
182         return altitude
183
184     def read_sealevel_pressure(self, altitude_m=0.0):
185         """Calcule de la pression par rapport au niveau de la mer quand on a une a
186         pressure = float(self.read_pressure())
187         p0 = pressure / pow(1.0 - altitude_m/44330.0, 5.255)
188         self._logger.debug('Pression au niveau de la mer {0} Pa'.format(p0))
189         return p0
190

```

---

**Algorithm 5** POST\_OP.py : Automatisation du traitements des données expérimentales récoltées

Création des fonctions : **makeCalculus()**, **scrapper()** (**scrapper()** récolte les données expérimentales stockées dans le fichier 'data.dat' puis les ajoute à un objet de type liste)

**return** Tracé des courbes (superposition du nuage de points représentant nos mesures avec la courbe du polynôme interpolateur et la valeur de l'erreur statique par rapport à la consigne)

[illegible]

```
26     erreurStatique()
27     PolynomialFitting(X, Y)
28
29     def scrapper():      # scrap les données du .DAT et les met sous forme (altitude, te
30
31         TIME,ALT =[], []
32         tampTIME,tampALT = [], []
33         i = 0
34         file = open('data.txt','r')
35         A = file.read()
36
37         while i <= len(A)-1:
38             if A[i] != '\t' and A[i-1] != '\t':
39                 tampALT += A[i]
40                 i+=1
41
42             if A[i] == '\t':
43                 ALT.append(''.join(map(str,tampALT)))
44                 tampALT = []
45                 i += 1
46
47             if A[i-1] == '\t':
48                 while A[i] != '\n':
49                     if i == len(A)-1:
50                         TIME.append(''.join(map(str,tampTIME)))
51                         elt = A[i]
52                         C = TIME[len(TIME)-1]
53                         C += elt
54                         TIME.remove(TIME[len(TIME)-1])
55                         TIME.append(C)
56                         return ALT,TIME
57                     tampTIME += A[i]
58                     i+=1
59
60                 TIME.append(''.join(map(str,tampTIME)))
61                 tampTIME = []
62                 i += 1
63
64
65
```

```
66 plt.ion()
67 fig = plt.figure()          #Création du graph
68 plt.title("Altitude du ballon en fonction du temps", fontsize=20)
69 plt.xlabel("Temps (en s)",fontsize=20)
70 plt.ylabel("Altitude (en m)",fontsize=20)
71 plt.grid(True)
72 DEG = 10 #degré du polynome voir plus haut dans la fonction de lissage...)
73
74
75 Y,X = scrapper()
76 for i in range(len(X)):
77     plt.scatter(float(X[i]),float(Y[i])) #tracé du nuage de point
78
79 plt.plot(X,[ALT_MAX]*len(X),'r--') # tracé de la consigne ( en rouge pointillé)
80 makeCalculus(X, Y)
81
82 pdf = PdfPages('results.pdf') #sauvegarde du graph
83 pdf.savefig(fig)
84 pdf.close()
85 print(resultasCalcul)
```

N.B :

### 3.4 LEDs et servomoteur : quelles sont leurs rôles au sein du système?

Les LEDS au nombre de 4 et caractérisées par leurs identifiant,  
- G\_DAT  
- S\_DAT  
- S\_DAT\_POST  
- R\_ALT  
sont les seules indications que nous ayons quant au bon déroulement de certaines procédures importantes du programme. Un clignotement correspond à l'appel réussi de *get\_data()*, *send\_data()*, *send\_data\_POST\_OP()* et *read\_altitude()* respectivement.

Le servo-moteur positionne le bras du bouchon en deux position : OUVERTURE(45 deg) et FERMETURE (0 deg). Tant qu'aucune consigne de position n'est envoyé au servo-moteur, celui-ci maintient la position et peut résister à un couple d'environ 15kg.cm.





# Chapitre 4

## Présentation des expériences

4.1 Présentation de l'environnement de l'expérience

4.2 Oscillation autour d'un point d'équilibre



## Chapitre 5

### Présentation des résultats et commentaires éventuels

5.1 Mesures de l'altitude en fonction du temps

5.2 Réactivité et précision du système



## Conclusion et perspectives



# Bibliographie